

УДК 537.311.31.32

© 1990

**ПОЛЯРИЗОВАННЫЕ СПЕКТРЫ ОТРАЖЕНИЯ  
НОВОГО ОРГАНИЧЕСКОГО СВЕРХПРОВОДНИКА  
 $(BEDT-TTF)_4Hg_{2.89}Br_8$**

*P. M. Власова, Р. Н. Любовская, Е. И. Жиляева,  
С. Я. Приев, В. Н. Семкин*

Изучены поляризованные спектры отражения  $R(\omega)$  монокристалла нового органического сверхпроводника  $(BEDT-TTF)_4Hg_{2.89}Br_8$  ( $T_k=4.3$  К) в спектральном интервале  $650-40\,000\text{ см}^{-1}$  (0.08–4.96 эВ) в поляризациях, когда электрический вектор световой волны  $E$  параллелен кристаллографическим осям  $a$ ,  $b$ ,  $c$  и направлению [110]. Получено оптическое подтверждение квазидвумерного характера электронной структуры кристаллов. Показано, что в случаях, когда  $E$  параллелен плоскости слоев молекул BEDT-TTF ( $E \parallel a, \parallel b, \parallel [110]$ ), спектры отражения в ИК области определяются проводящей электронной системой, которая имеет большую оптическую релаксацию и проявляет сильное электронно-колебательное взаимодействие. В случае, когда  $E$  перпендикулярен плоскости слоев BEDT-TTF ( $E \parallel c$ ), отражение света проводящей электронной системой отсутствует, коэффициент отражения имеет типичные для диэлектрика низкие значения, мало зависящие от частоты. Определены друдевские параметры квазидвумерной электронной системы и интегралы переноса в направлениях осей  $a$  и  $b$ . Обсуждено отличие  $R(\omega)$  от соответствующих друдевских зависимостей, идентифицированы особенности электронно-колебательной структуры в спектрах.

В работах [1–3] сообщается о синтезе и свойствах нового органического сверхпроводника при нормальном давлении  $(BEDT-TTF)_4Hg_{2.89}Br_8$  с  $T_k=4.3$  К. Подобно ранее изученным органическим сверхпроводникам на основе молекулы<sup>1</sup> BEDT-TTF его кристаллическая структура состоит из двумерных слоев катион-радикалов<sup>2</sup>  $ET^+$  (плоскости (001)), разделенных в направлении оси  $c$  слоями неорганических анионов. В отличие от органических сверхпроводников при нормальном давлении состава  $ET_xX$ , где  $X=I_3^-, IBr_2^-, AuI_2^-$  ( $T_k=1.4, 2.8, 5$  К соответственно [4–7]), особенностью нового сверхпроводника является то, что его кристаллическая структура состоит из двух несоизмеримых моноклинных подрешеток (I:  $a=11.219$  (3),  $b=8.706$  (2),  $c=37.105$  (7) Å,  $\beta=90.97$  (4)°, пр. гр. I 2/c; II:  $a=3.877$  (1),  $b=8.706$  (2),  $c=37.141$  (7) Å,  $\beta=87.30$  (4)°, пр. гр. I 2 [2]), неорганические анионы  $Hg_{2.89}Br_8^{2-}$  имеют не линейное, а объемное строение. Аналогичными структурными особенностями обладает  $ET_4Hg_3Cl_8$  — сверхпроводник при давлении 12 кбар с  $T_k=1.8$  К [8].

Проводящие и сверхпроводящие свойства кристаллов  $ET_4Hg_{2.89}Br_8$  достаточно хорошо изучены [2]. Большое различие электропроводности вдоль и поперек слоев ET, большая анизотропия и положительная кривизна температурных зависимостей верхних критических полей, значения корреляционных длин Гинзбурга—Ландау — все это позволило охарактеризовать данное соединение как двумерный сверхпроводник. В то же время сведения об анизотропии оптических свойств  $ET_4Hg_{2.89}Br_8$  отсутствуют, так как они изучались только в неполяризованном свете [9], что связано с трудностью выполнения поляризационных измерений на кристаллах очень малых размеров.

<sup>1</sup> BEDT-TTF — бис(этиденитиоло)тетратиофульвален; в дальнейшем нами будет использовано принятное сокращение ET.

<sup>2</sup> Формально каждая молекула ET несет на себе заряд  $+0.5e$ .

В данной работе проведены измерения поляризованных спектров отражения монокристаллов  $\text{ET}_4\text{Hg}_{2.89}\text{Br}_8$  в спектральной области 650—40 000  $\text{cm}^{-1}$  (0.08—4.96 эВ) с использованием микроскопной техники.

Монокристаллы имеют форму правильных, хорошо ограненных ромбических пластинок с диагоналями ромба  $\sim 0.5$  и  $0.3$  мм и толщиной  $\sim 0.05$  мм.

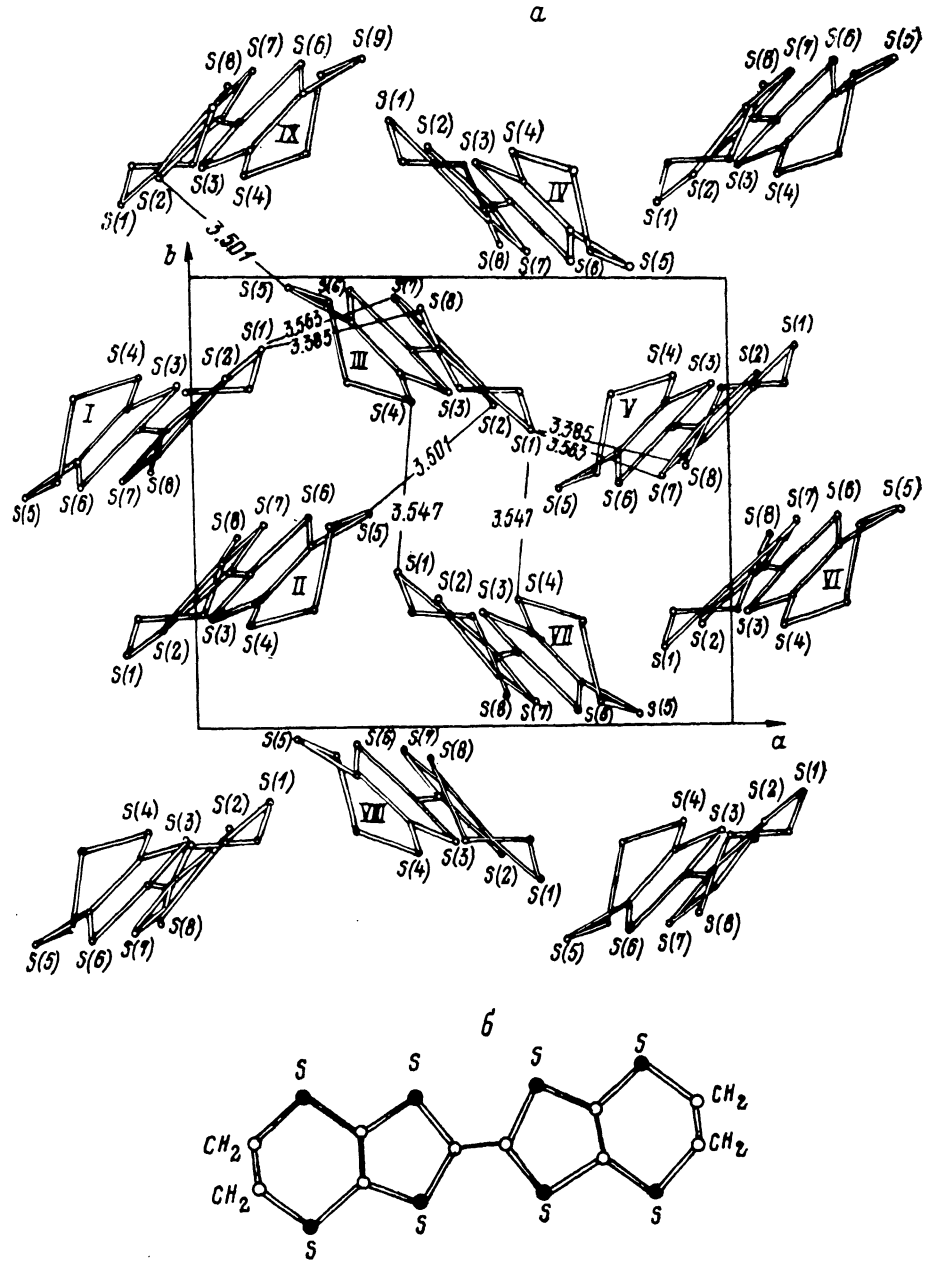


Рис. 1. Проекция структуры кристалла  $\text{ET}_4\text{Hg}_{2.89}\text{Br}_8$  на плоскость (001) (а), структурная формула молекулы ET (б).

Кристаллографические оси  $a$  и  $b$  направлены вдоль большой и малой диагоналей ромба соответственно, ось  $c$  почти перпендикулярна плоскости (001). Проекция структуры слоя ET на плоскость (001), необходимая для дальнейшей интерпретации результатов измерений, приведена на рис. 1. Видно, что катион-радикалы ET упакованы парами, так что каждая пара  $\text{ET}_2$  составляет с соседней такой же парой угол  $82.9^\circ$ . Межплоскостные расстояния между молекулами ET ( $3.696 \text{ \AA}$ ) и  $S \dots S$  расстояния

(3.788–3.884) в паре не укорочены. Имеется 8 укороченных  $S\dots S$  контактов (3.385–3.662 Å) между молекулами ET из соседних пар.

Спектры отражения  $R(\omega)$  измерялись при нормальном падении света на наиболее развитую (001) и узкую боковую (110) грани кристалла с использованием ИК Фурье-спектрометра IFS-113V, оборудованного инфракрасным микроскопом (спектральная область 650–4800 см<sup>-1</sup>), и микроспектрографом, обеспечивающих спектральную область 4800–40 000 см<sup>-1</sup>, с поляризаторами KRS-5 и призмы Глана–Томпсона. Диаметр светового зонда 74–25 мкм, абсолютное значение коэффициента отражения определялось по отношению к алюминиевому зеркалу и SiC.

Соответствующие спектры отражения в поляризациях  $E \parallel a$ ,  $E \parallel b$  (от грани (001)),  $E \parallel [110]$  и  $E \parallel c$  (от грани (110)) представлены на рис. 2, a, b. Видно, что наблюдается качественное различие анизотропии спектров,

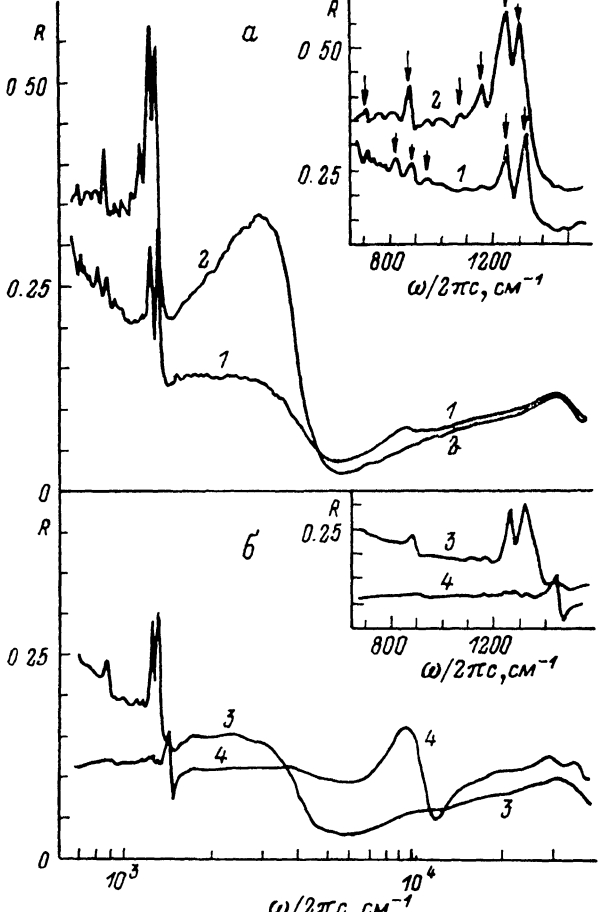


Рис. 2. Спектры отражения кристалла  $ET_4Hg_{2.89}Br_8$  от граней (001) (a) в поляризациях  $E \parallel a$  (1) и  $E \parallel b$  (2) и (110) (b) в поляризациях  $E \parallel [110]$  (3) и  $E \parallel c$  (4).  $T=300$  К.

На вставках — соответствующие спектры в интервале 650–1550 см<sup>-1</sup>, стрелками указаны обсуждаемые особенности колебательной структуры.

полученных на разных гранях. Для грани (001) в обеих поляризациях ( $E \parallel a$ ,  $E \parallel b$ ) наблюдается типичное для проводящих и сверхпроводящих кристаллов на основе ET достаточно большое отражение в ИК области с интенсивной колебательной структурой в интервале 1150–1400 см<sup>-1</sup> и характерным плазменным краем вблизи 4000 см<sup>-1</sup>, обусловленное проводящей электронной системой с большим затуханием и сильным электронно-колебательным взаимодействием (см., например, [9, 10–16]). В противоположность этому для грани (110) указанные особенности  $R(\omega)$  наблю-

даются только в поляризации  $E \parallel [110]$ , в поляризации  $E \parallel$  с спектр имеет совсем другой характер: во всей исследованной ИК области  $R$  имеет типичные для диэлектрика низкие значения ( $\sim 0.12$ ), мало зависящие от частоты. Узкая полоса наблюдается при  $1444 \text{ см}^{-1}$ , она может быть отнесена к деформационным колебаниям  $\text{CH}_2$ -групп молекулы ET ( $B_{1u}, v_{28}$ ,  $1420 \text{ см}^{-1}$  [17]). Подобный вид спектра в поляризации, когда  $E$  перпендикулярен слоям ET, наблюдался также для сверхпроводника  $k\text{-ET}_2\text{Cu}(\text{SCN})_2$  ( $T_c = 10.4 \text{ K}$ ) в [18]. Из приведенных данных следует, что отражение света проводящей электронной системой в кристаллах  $\text{ET}_4\text{Hg}_{2.89}\text{Br}_8$  имеет место в том случае, когда  $E$  параллелен плоскости (001), и отсутствует, когда  $E$  перпендикулярен этой плоскости, что соответствует сильной двумерной анизотропии проводящих и сверхпроводящих свойств этого органического сверхпроводника.

Для характеристики такой квазидвумерной электронной системы была сделана оценка ее ключевых параметров в направлениях осей  $a$  и  $b$  путем анализа края плазменного отражения по модели Друде и соответствующих интегралов переноса в приближении, описанном в [12]. Приведенные в таб-

Параметры электронной системы, полученные путем анализа  
края плазменного отражения по модели Друде.  
 $\omega_p^2 = 4\pi n e^2 / m^* \epsilon_\infty$ ,  $n = 1.1 \cdot 10^{21} \text{ см}^{-3}$

Поляризация	$\omega_p/2\pi c$ , $\text{см}^{-1}$	$\epsilon_\infty$	$\gamma/2\pi c$ , $\text{см}^{-1}$	$m^*/m_0$	$4t$ , эВ
$E \parallel a$	4520	2.7	5400	1.8	0.63
$E \parallel b$	4330	3.3	1690	1.6	0.50

лице результаты оценки показывают, что друдевские параметры и интегралы переноса в проводящей плоскости почти изотропны так же, как это имеет место у близкого по структуре сверхпроводника  $\text{ET}_2\text{Cu}(\text{SCN})_2$  [16]. Исключение представляет показатель затухания  $\gamma$ , который заметно анизотропен  $\gamma_a/\gamma_b = 3.2$ . Следует отметить, что наибольшее значение  $\gamma$  наблюдается в направлении той оси (оси  $a$ ), вдоль которой имеет место несовпадение периодов идентичности двух несоизмеримых подрешеток структуры.

Из рис. 2 видно, что при  $\omega < 3000 \text{ см}^{-1}$  наблюдается существенное отличие экспериментальных спектров отражения от соответствующих друдевских зависимостей  $R(\omega)$ . Это отличие может быть обусловлено, во-первых, структурным фактором — парной упаковкой молекул ET в слое. Как предполагается в [19], парная (димерная) упаковка приводит к расщеплению зоны проводимости и, следовательно, к появлению дополнительного электронного перехода между расщепленными подзонами, который обуславливает максимум в спектрах отражения димеризованных кристаллов в области  $2500—3000 \text{ см}^{-1}$ . Во-вторых, это отличие вызвано электронно-колебательным и электрон-электронным взаимодействиями. Наиболее интенсивные особенности электронно-колебательной структуры в спектрах отражения наблюдаются на частотах (см. вставки к рис. 2)  $1303, 1265, 1168, 877 \text{ см}^{-1}$  для  $E \parallel b$  и  $1336, 1267, 883, 823 \text{ см}^{-1}$  для  $E \parallel a$ . Наиболее вероятно, что эти особенности обусловлены взаимодействием квазидвумерной электронной системы со следующими полносимметричными внутримолекулярными колебаниями ET: валентными колебаниями центральной  $\text{C}=\text{C}$  связи ( $a_g, v_4$ ,  $1494 \text{ см}^{-1}$ ), деформационными колебаниями  $\text{C}-\text{C}-\text{H}$  ( $a_g, v_5$ ,  $1445 \text{ см}^{-1}$ ),  $\text{H}-\text{C}-\text{H}$  ( $a_g, v_6$ ,  $1281 \text{ см}^{-1}$ ;  $a_g, v_7$ ,  $1147 \text{ см}^{-1}$ ) связей и валентными колебаниями  $\text{C}-\text{S}$  ( $a_g, v_{10}$ ,  $876 \text{ см}^{-1}$ ) связей [13, 17]. Заметны также слабые максимумы на частотах  $1076, 700 \text{ см}^{-1}$  для  $E \parallel b$  ( $a_g, v_8$ ,  $1023 \text{ см}^{-1}$ ;  $a_g, v_{11}$ ,  $656 \text{ см}^{-1}$ ) и  $950 \text{ см}^{-1}$  для  $E \parallel a$  ( $a_g, v_9$ ,  $917 \text{ см}^{-1}$ ). Полоса при  $823 \text{ см}^{-1}$ , наиболее заметная для  $E \parallel a$ , нами не была идентифицирована, так как она не соответствует ни одному из  $a_g$ -колебаний ET и не может быть от-

несена также к близко расположенному оптически активному колебанию  $B_{1u}\nu_{32}$ , 773 см<sup>-1</sup> [17], поскольку она отсутствует в спектре  $R(\omega)$  для  $E \parallel c$ .

В высокочастотной части спектров  $\omega > \omega_p$  (8000—40 000 см<sup>-1</sup>) в поляризациях  $E \parallel a$ ,  $E \parallel b$  (грань (001)) и  $E \parallel [110]$  (грань (110)) наблюдается низкий друдевский фон отражения, на который накладываются широкие полосы в области 20 000 (плечо) и 30 000 см<sup>-1</sup>, которые следует отнести к внутримолекулярным электронным переходам в катион-радикалах  $ET^+$ . Такое отнесение подтверждается тем, что указанные полосы наиболее интенсивны в поляризации  $E \parallel c$  (грань (110)), так как вдоль оси с ориентирована преимущественно длинная ось молекулы  $ET$  [2]. Следует отметить также, что полосе при 30 000 см<sup>-1</sup> в поляризации  $E \parallel c$  соответствует дублет с максимумами при 29 100 и 36 290 см<sup>-1</sup>. В этой поляризации наблюдается также интенсивная полоса при 9680 см<sup>-1</sup>, которая, как было показано для ряда кристаллов на основе  $ET$  в [20] и для  $\theta$ - $ET_2I_3$  в [21], соответствует внутримолекулярному переходу в  $ET^+$ , поляризованному вдоль его длинной оси. Полосы в видимой области спектра, относящиеся к внутримолекулярным электронным возбуждениям  $ET^+$ , наблюдались также для кристаллов  $ET_2Cu(SCN)_2$  в [16].

### Список литературы

- [1] Любовская Р. Н., Жиляева Е. И., Зварыкина А. В., Лахин В. Н., Любовский Р. Б., Песоцкий С. И. // Письма в ЖЭТФ. 1987. Т. 45. № 9. С. 416—418.
- [2] Любовская Р. Н., Жиляева Е. И., Песоцкий С. И., Любовский Р. Б., Атовян Л. О., Дьяченко О. А., Тахиров Т. Г. // Письма в ЖЭТФ. 1987. Т. 46. № 4. С. 149—152.
- [3] Aldoshina M. Z., Goldenberg L. M., Zhilyaeva E. I., Lyubovskaya R. N. e. a. // Materials Science. 1988. V. 14. N 4. P. 45—51.
- [4] Ягубский Э. Б., Щеголев И. Ф., Лахин В. Н., Кононович П. А., Кварцовник М. В., Зварыкина А. В., Буравов Л. И. // Письма в ЖЭТФ. 1984. Т. 39. № 1. С. 12—15.
- [5] Каминский В. Ф., Прохорова Т. Г., Шибаева Р. П., Ягубский Э. Б. // Письма в ЖЭТФ. 1984. Т. 39. № 1. С. 15—18.
- [6] Williams J. M., Wang H. H., Beno M. A. e. a. // Inorg. Chem. 1984. V. 23. N 24. P. 3839—3841.
- [7] Wang H. H., Beno M. A., Ceiser U. e. a. // Inorg. Chem. 1985. V. 24. N 16. P. 2465—2466.
- [8] Любовская Р. Н., Любовский Р. Б., Шибаева Р. П., Алдошина М. З., Гольденберг Л. М., Розенберг Л. П., Хидекель М. Л., Шульпяков Ю. Ф. // Письма в ЖЭТФ. 1985. № 9. С. 380—383.
- [9] Каплунов М. Г., Ягубский Э. Б., Любовская Р. Н., Баженов А. Н., Бородько Ю. Г. // Materials Science. 1988. V 14. N 4. P. 33—38.
- [10] Власова Р. М., Иванова Е. А., Семкин В. Н. // ФТТ. 1985. Т. 27. № 2. С. 530—532.
- [11] Kaplunov M. G., Yagubskii E. B., Rosenberg L. P., Borodko Yu. G. // Phys. St. Sol. (a). 1985. V. 89. N 2. P. 509—516.
- [12] Jacobsen C. S., Williams J. M., Wang H. // Sol. St. Comm. 1985. V. 54. N 11. P. 937—941.
- [13] Meneghetti M., Bozio R., Pecile C. // J. Physique. 1986. V. 47. P. 1377—1387.
- [14] Kaplunov M. G. Lyubovskaya R. N., Aldoshina M. Z., Borodko Yu. G. // Phys. St. Sol. (a). 1987. V. 104. N 2. P. 833—889.
- [15] Kaplunov M. G., Kushch N. D., Yagubskii E. B. // Phys. St. Sol. (a). 1988. V. 110. N 2. P. K111—K116.
- [16] Sugano T., Hayashi H., Takenouchi H. // Phys. Rev. B. 1988. V. 37. P. 9100—9102.
- [17] Kozlov M. E., Pokhodnia K. I., Yurchenko A. A. // Spectrochim. Acta. 1987. V. 43A. N 3. P. 323—329.
- [18] Tokumoto M., Anzai H., Takahashi K., Kinoshita N. e. a. // Synth. Metals. 1988. V. 27. N 1—2. P. A171—A176.
- [19] Kuroda H., Yakushi K., Tajima H., Ugawa A. e. a. // Synth. Metals. 1988. V. 27. N 1—2. P. A491—A498.
- [20] Власова Р. М., Приев С. Я., Семкин В. Н., Ягубский Э. Б. и др. // ФТТ. 1990. Т. 32. № 2. С. 448—455.
- [21] Tamura M., Yakushi K., Kuroda H., Kobayashi A. e. a. // J. Phys. Soc. Jap. 1988. V. 57. N 9. P. 3239—3247.